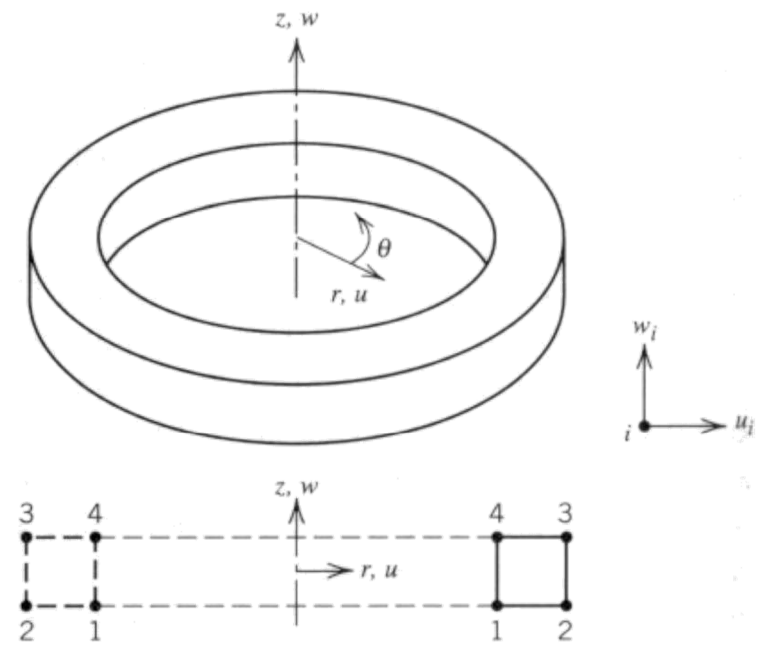
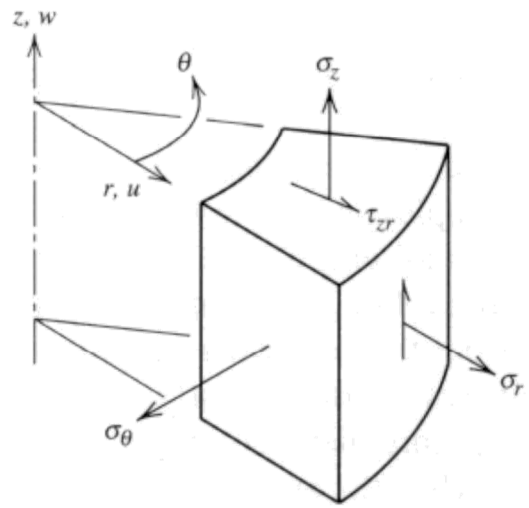


Elementos Axisimétricos

Deformaciones

$u(r,z); w(r,z); v(r,\theta,z)=0$

$$\begin{aligned} \epsilon_r &= \frac{\partial u}{\partial r} & \gamma_{zr} &= \frac{\partial u}{\partial z} + \frac{\partial w}{\partial r} \\ \epsilon_\theta &= \frac{u}{r} & \gamma_{z\theta} &= 0 \\ \epsilon_z &= \frac{\partial w}{\partial z} & \gamma_{r\theta} &= 0 \end{aligned}$$



Relaciones Desplazamiento - Deformación

$$\begin{Bmatrix} \epsilon_r \\ \epsilon_\theta \\ \epsilon_z \\ \gamma_{zr} \end{Bmatrix} = \begin{bmatrix} \frac{\partial}{\partial r} & 0 \\ \frac{1}{r} & 0 \\ 0 & \frac{\partial}{\partial z} \\ \frac{\partial}{\partial z} & \frac{\partial}{\partial r} \end{bmatrix} \begin{Bmatrix} u \\ w \end{Bmatrix}$$

Ecuación Constitutiva

$$\begin{Bmatrix} \sigma_r \\ \sigma_\theta \\ \sigma_z \\ \tau_{zr} \end{Bmatrix} = \begin{bmatrix} A & B & B & 0 \\ B & A & B & 0 \\ B & B & A & 0 \\ 0 & 0 & 0 & G \end{bmatrix} \begin{Bmatrix} \epsilon_r \\ \epsilon_\theta \\ \epsilon_z \\ \gamma_{zr} \end{Bmatrix} - \frac{E\alpha\Delta T}{1-2\nu} \begin{Bmatrix} 1 \\ 1 \\ 1 \\ 0 \end{Bmatrix}$$

$$A = \frac{(1-\nu)E}{(1+\nu)(1-2\nu)} \quad B = \frac{\nu E}{(1+\nu)(1-2\nu)} \quad G = \frac{E}{2(1+\nu)}$$

Elementos Axisimétricos

Funciones de Forma

$$\begin{cases} u = \sum_j N(\xi, \eta)_j u_j \\ w = \sum_j N(\xi, \eta)_j w_j \end{cases}$$

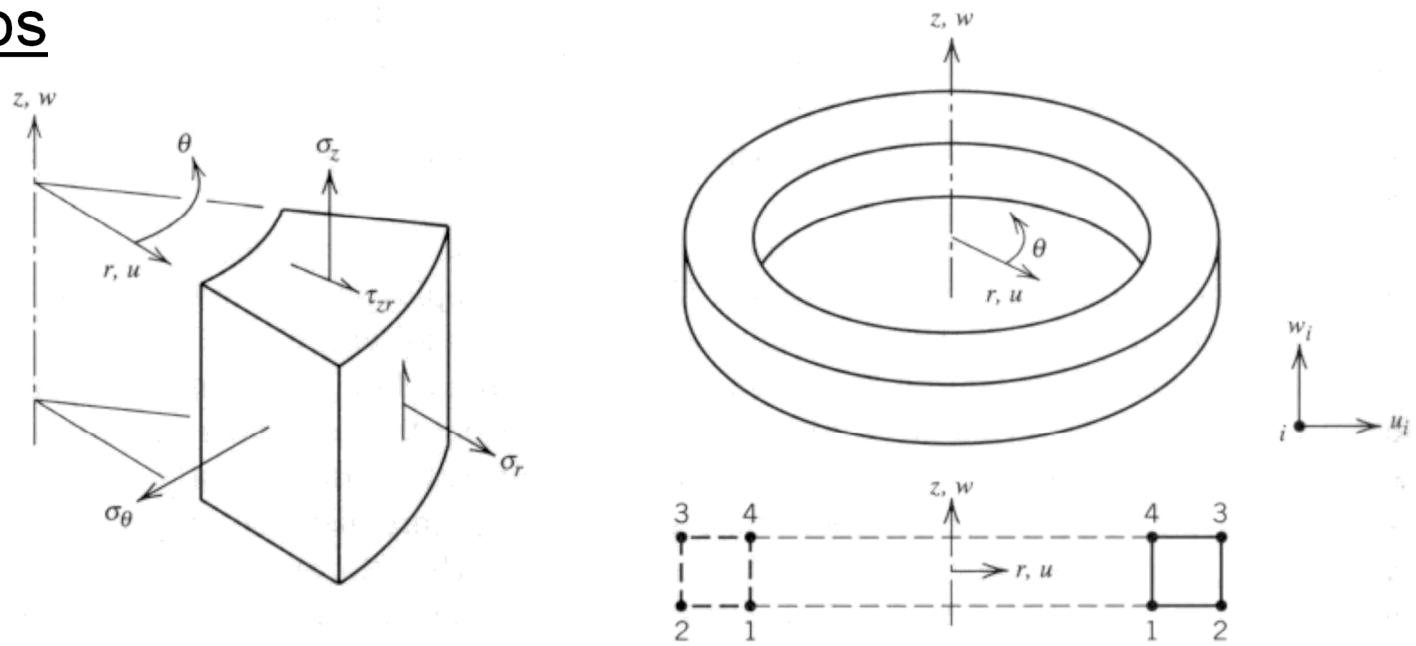
$$N(\xi, \eta)_j = \frac{1}{4} (1 \pm \xi)(1 \pm \eta)$$

$$\{\epsilon\}_{4 \times 1} = [B(\xi, \eta)]_{4 \times 2N} \{d\}_{2N \times 1}$$

$$[B] = \begin{bmatrix} \frac{\partial N(\xi, \eta)_1}{\partial r} & 0 & \dots & 0 \\ \frac{N(\xi, \eta)_1}{r(\xi, \eta)} & 0 & \dots & 0 \\ 0 & \frac{\partial N(\xi, \eta)_1}{\partial z} & \dots & \frac{\partial N(\xi, \eta)_j}{\partial z} \\ \frac{\partial N(\xi, \eta)_1}{\partial z} & \frac{\partial N(\xi, \eta)_1}{\partial r} & \dots & \frac{\partial N(\xi, \eta)_j}{\partial r} \end{bmatrix}$$

Evaluación del radio

$$r(\xi, \eta) = \sum_j N(\xi, \eta)_j r_j$$



Elementos Axisimétricos

Matriz de Rigidez

$$[K]_{2N \times 2N} = \int_0^{2\pi} \int_A [B]_{2N \times 4}^T [E]_{4 \times 4} [B]_{4 \times 2N} r dr d\theta dz \rightarrow [K] = 2\pi \int_{-1}^1 \int_{-1}^1 [B]^T [E][B] r |J| d\xi d\eta$$

$$[K] = 2\pi \sum_i^{npg} W_i \begin{bmatrix} \frac{\partial N(\xi_i, \eta_i)_1}{\partial r} & 0 & \dots & [E][B] \left(\sum_j N(\xi_i, \eta_i)_j r_j \right) |J_i| \\ \frac{\partial N(\xi_i, \eta_i)_1}{\partial z} & 0 & \dots & [E][B] \left(\sum_j N(\xi_i, \eta_i)_j r_j \right) |J_i| \\ \frac{\partial N(\xi_i, \eta_i)_1}{\partial z} & \frac{\partial N(\xi_i, \eta_i)_1}{\partial r} & \dots & [E][B] \left(\sum_j N(\xi_i, \eta_i)_j r_j \right) |J_i| \end{bmatrix}^T$$

B

Elementos Axisimétricos

Elemento 4 Nodos

Deformaciones

$$\begin{aligned} u &= \beta_1 + \beta_2 r + \beta_3 z + \beta_4 r z \\ w &= \beta_5 + \beta_6 r + \beta_7 z + \beta_8 r z \end{aligned} \rightarrow \begin{aligned} \epsilon_r &= \beta_2 + \beta_4 z & ; & \quad \epsilon_\theta = \frac{\beta_1}{r} + \beta_2 + \beta_3 \frac{z}{r} + \beta_4 z \\ \epsilon_z &= \beta_7 + \beta_8 r & ; & \quad \gamma_{zr} = \beta_3 + \beta_4 r + \beta_6 + \beta_8 z \end{aligned}$$

Cargas Distribuidas

$$[R]_{2N} = \int_0^{2\pi} \int_S [N]_{2N \times 2}^T \begin{Bmatrix} \sigma \\ \tau \end{Bmatrix} r \, ds \, d\theta$$

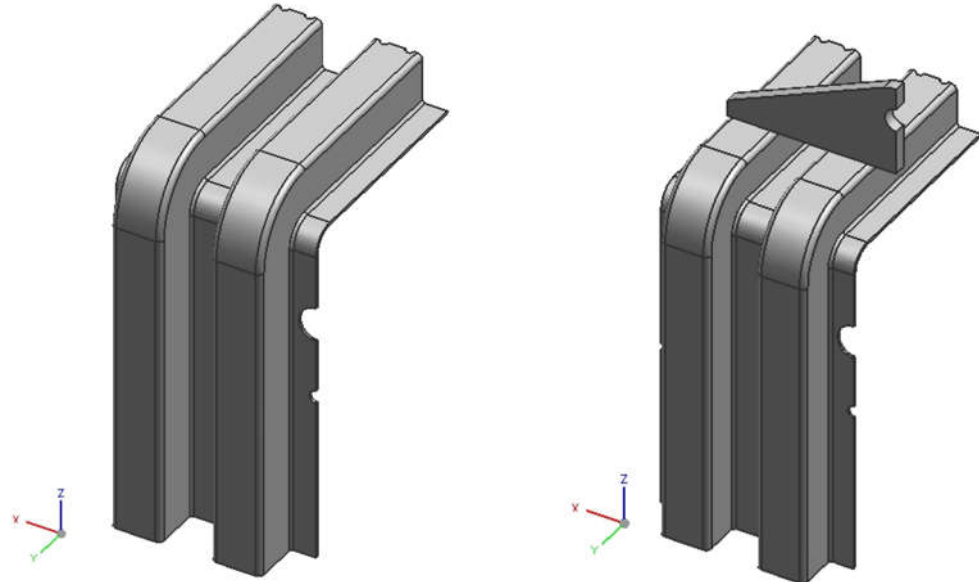
Cargas Centrífugas

$$[R]_{2N} = \int_0^{2\pi} \int_0^r \int_0^z [N]_{2N \times 2}^T \begin{Bmatrix} \rho r \omega^2 \\ 0 \end{Bmatrix} r \, dr \, dz \, d\theta$$

Caso de Estudio - Autoclave

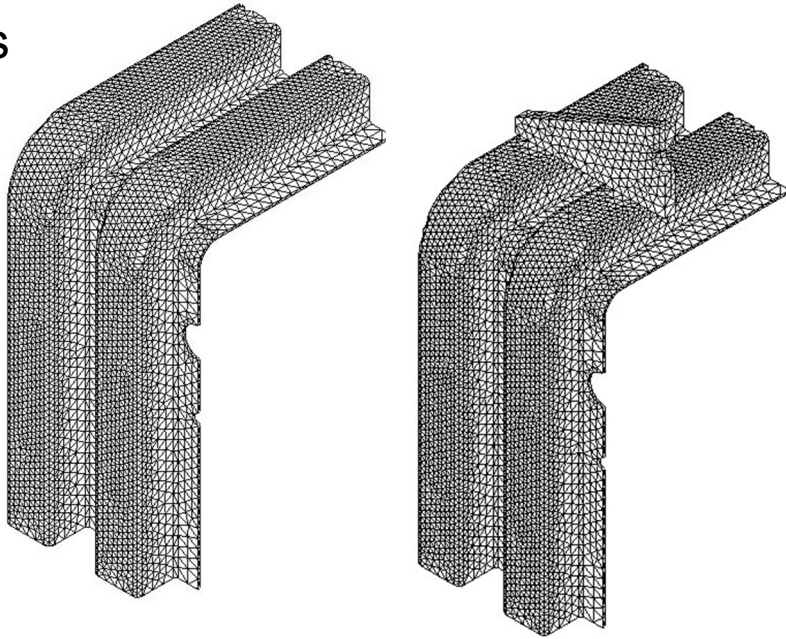


Secciones Típicas

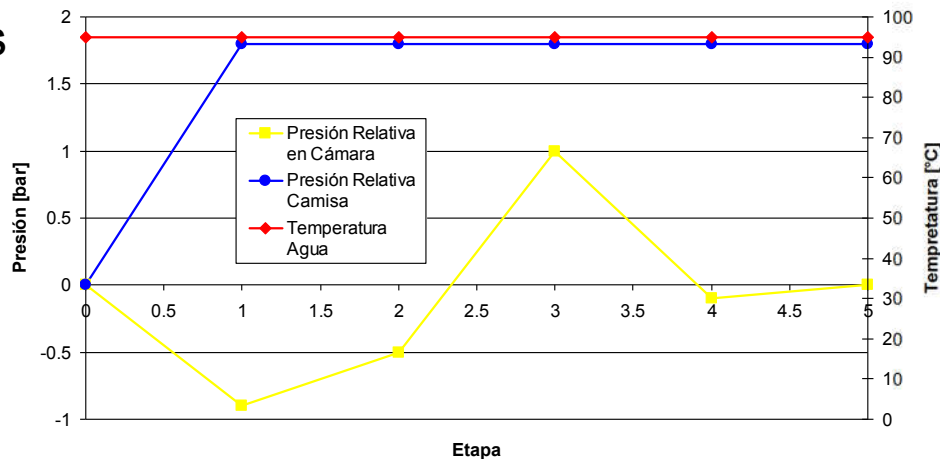


Caso de Estudio - Autoclave

Mallas

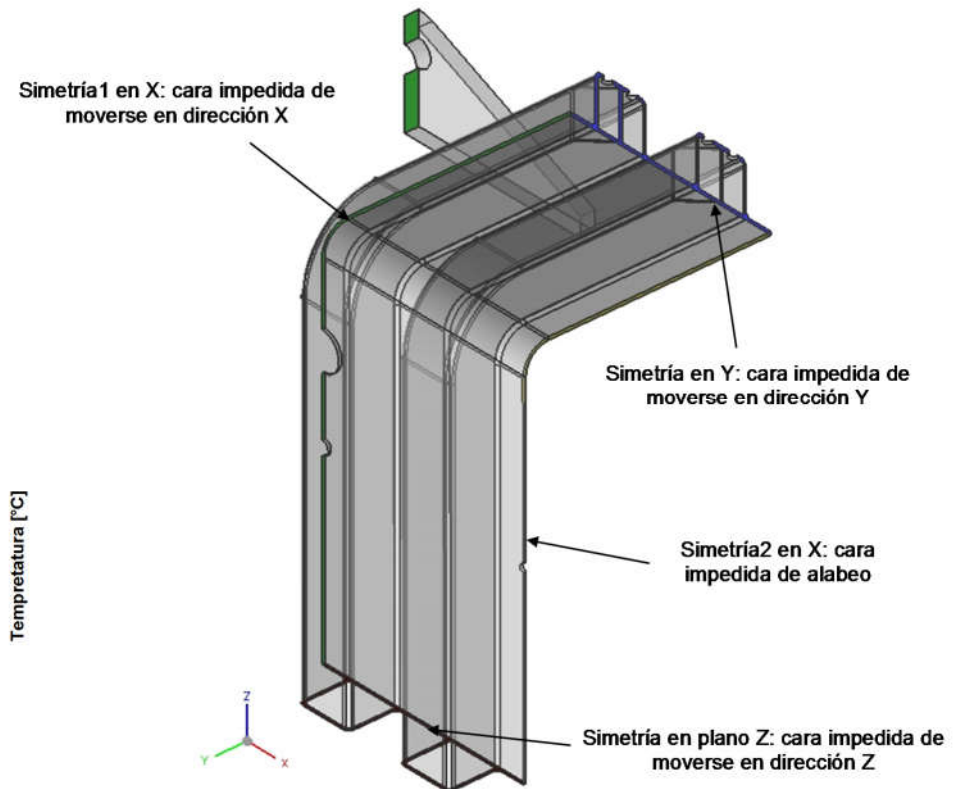


Cargas



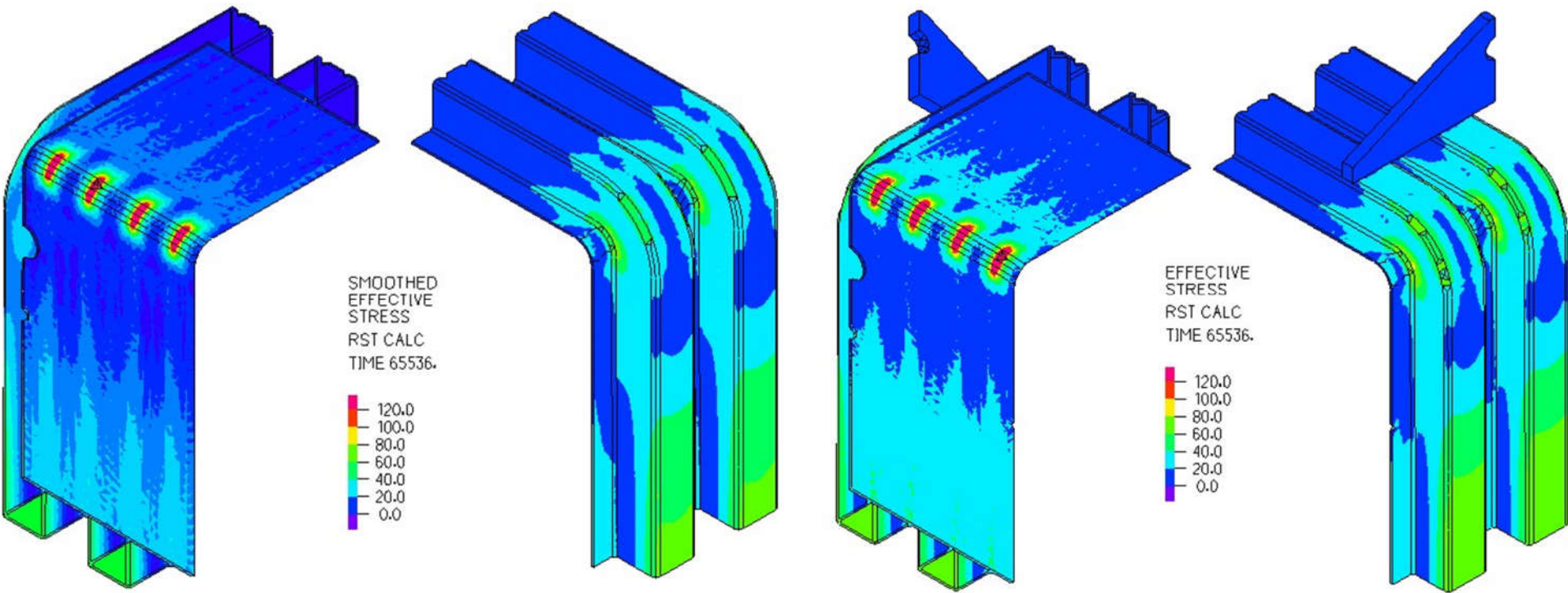
Hipótesis

- Se asume simetría en los tres ejes de coordenadas
- Se asume material elástico lineal
- Se utiliza una formulación de pequeñas deformaciones con pequeños desplazamientos
- Se asume estado térmico estacionario.
- Se asume temperatura constante a lo largo del ciclo



Caso de Estudio - Autoclave

Resultados Prueba Hidráulica

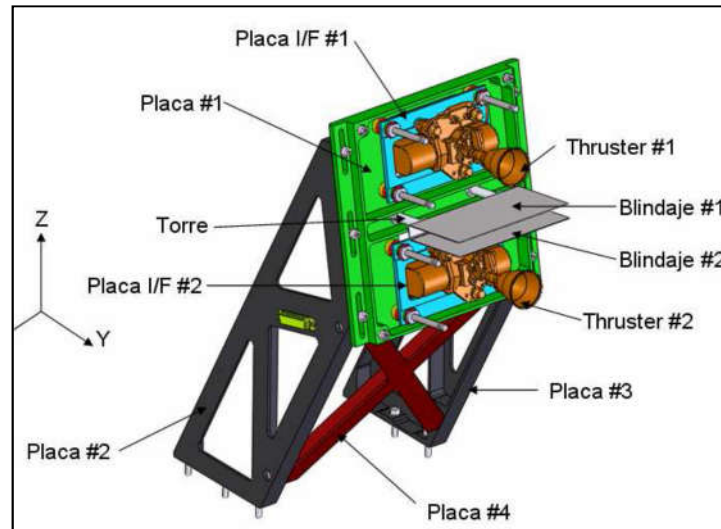
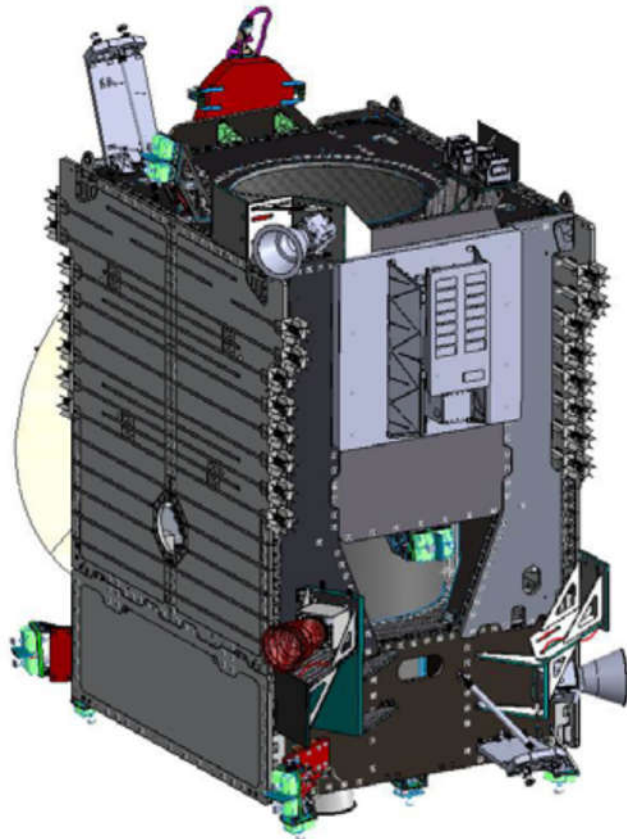


Resultados Fatiga

Criterio	Modelo A	Modelo B
ASME-elíptica	2.08	2.08
GERBER	2.13	2.12

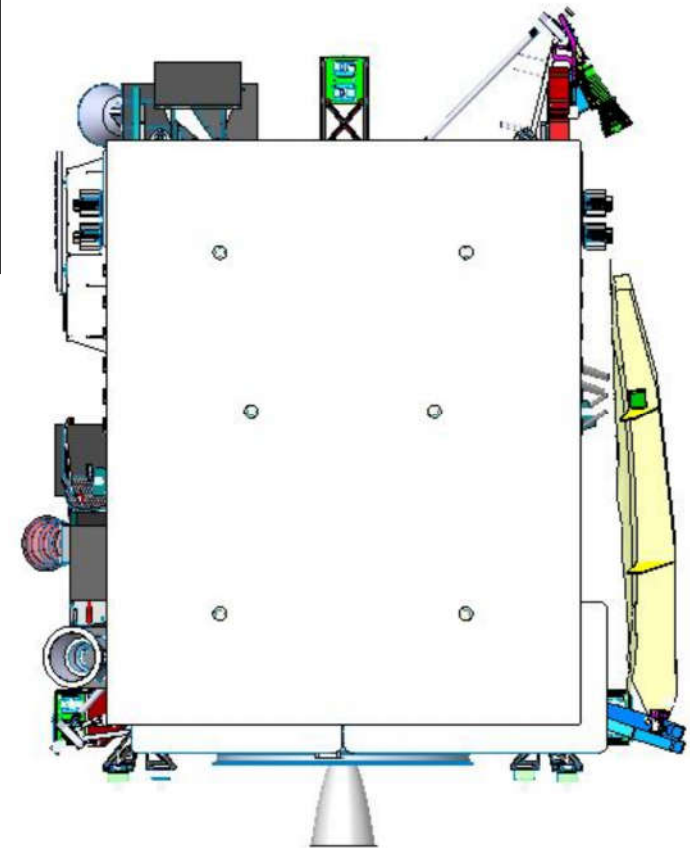
Recomendaciones: Radios

Caso de Estudio – Soporte de Toberas

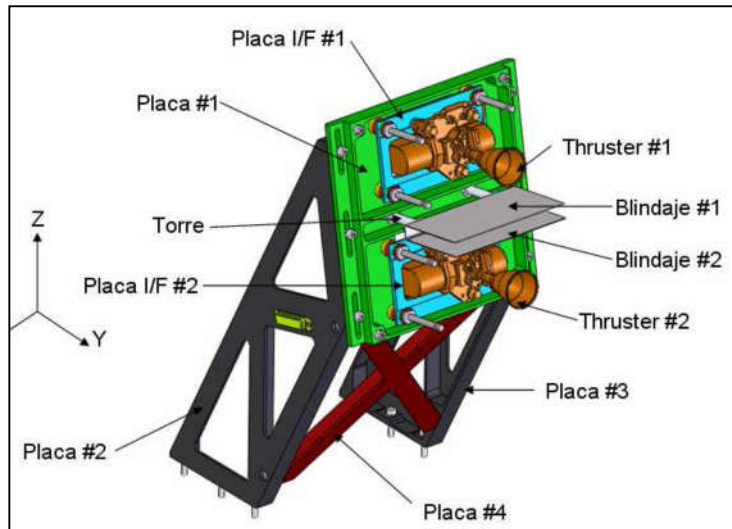


Requerimientos

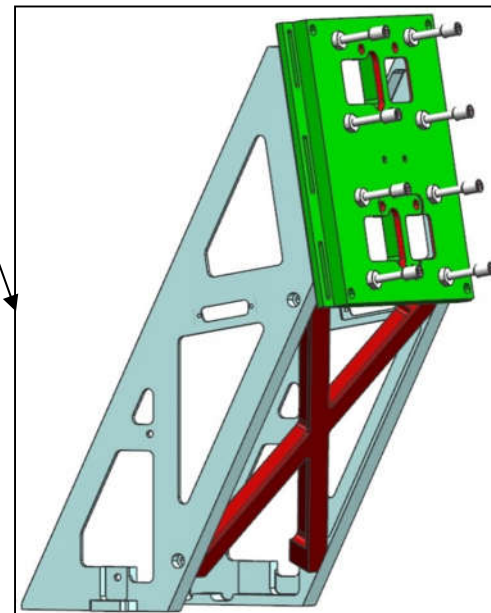
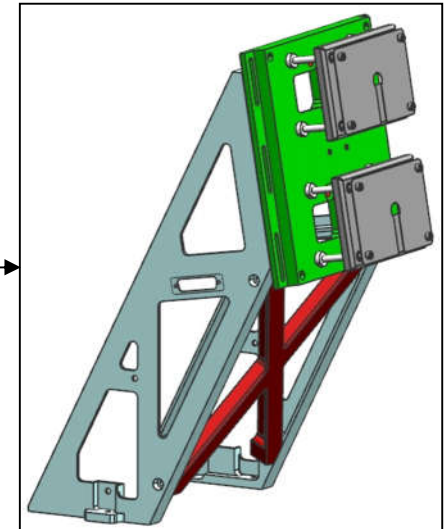
- Análisis modal (frecuencias fundamentales).
- Análisis cuasi-estático (cargas limites).
- Análisis termoelastico (apuntamiento).



Caso de Estudio – Soporte de Toberas

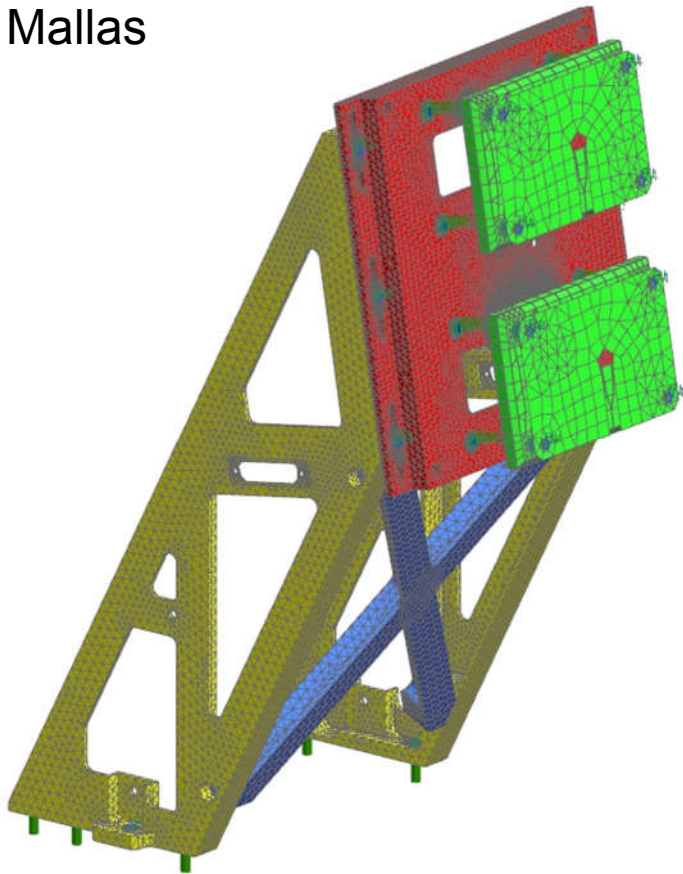


Simplificación estructural

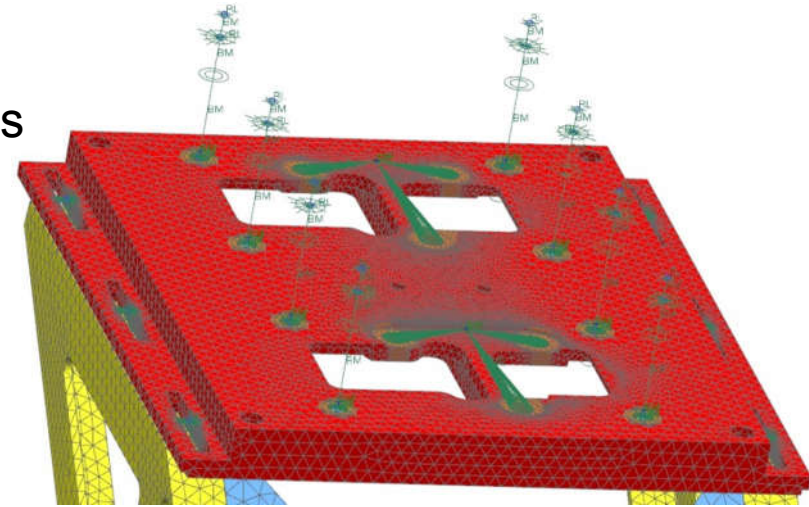


Caso de Estudio – Soporte de Toberas

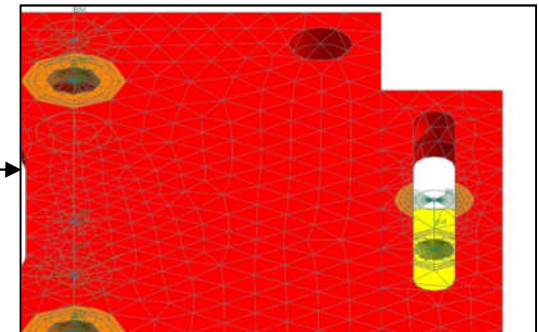
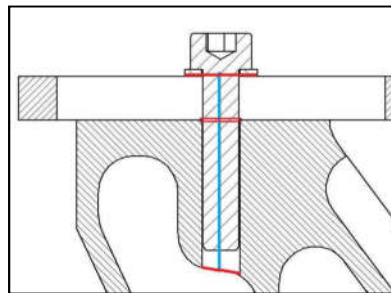
Mallas



Modelado de toberas



Modelado de uniones

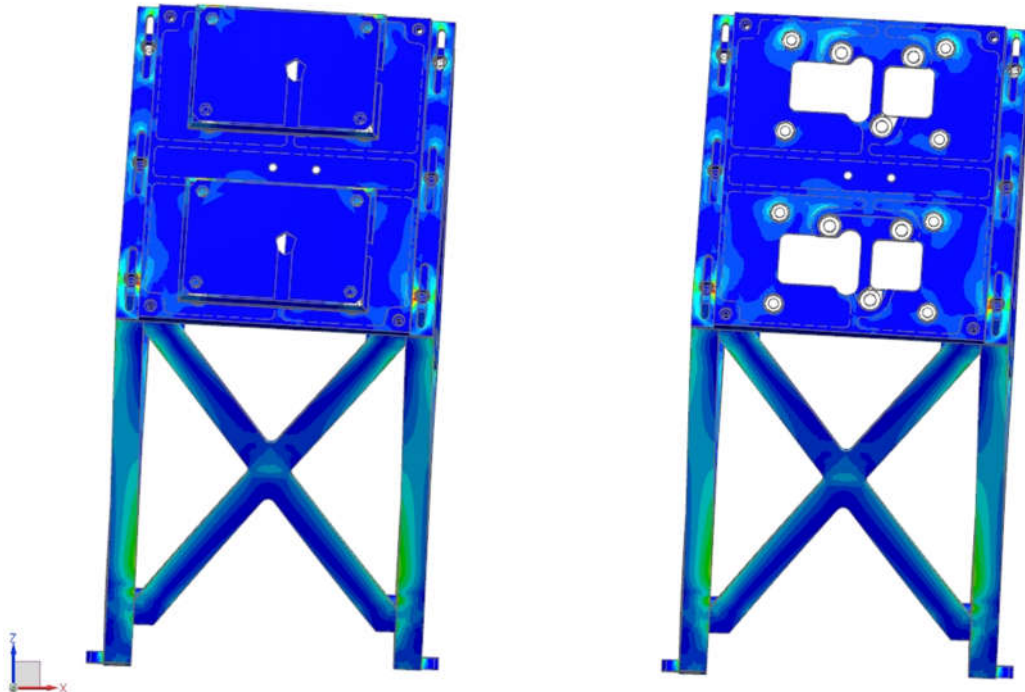


Hipótesis

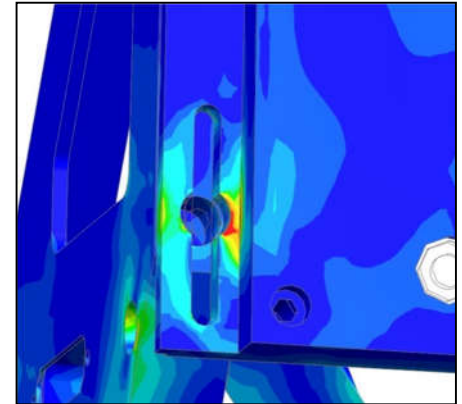
- Se asume que las uniones abulonadas se mantienen en contacto debido a la precarga.
- Se asume que el soporte se encuentra fijo en las uniones de I/F (Hard Mounted)
- Se asume que las toberas se comportan de manera rígida.
- Se asume material elástico lineal
- Se utiliza una formulación de pequeñas deformaciones con pequeños desplazamientos
- Se asume estado térmico estacionario

Caso de Estudio – Soporte de Toberas

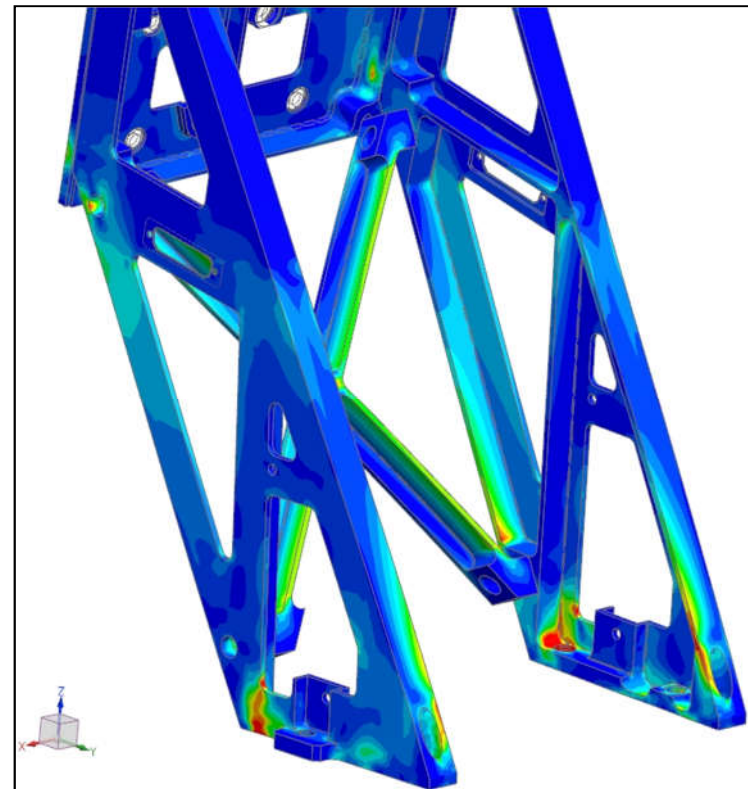
Resultados Cuasi-estáticos (LC1)



Efecto rigid links



Concentración tensiones



Recomendaciones:

- Radios (análisis cuasi-estático)
- Vaciados (análisis cuasi-estático y modal)
- Diseño laterales en I/F (cargas térmicas)